

(24) 軟岩の繰り返し載荷時の力学挙動について

京都大学工学部

足立紀尚
大西有三
能矢宏生
七條牧生

1. はじめに

地盤工学で取扱う土質材料は、これまで多くの研究からいすれ速度効果、フリーパー現象、応力緩和現象などの時間に依存した挙動を示すことが明らかにされていいるが、近年における土木構造物の大型化に伴い支持層の時間依存変形や構造物建設時に重要な位置を占めるようになつてゐる。我が国の土壤は、第三紀堆積層や風化花崗岩など、いわゆる軟岩と呼ばれる岩盤が広く分布しており、構造物施工の際に、このような岩盤を取扱う機会が多く軟岩の力学挙動を解明して把握することがより有利必要とされである。従来、支持岩盤の長期安定問題は、フリーパー変形に対する安全性を評価するが一般的手法となるており、この評価法として現在では時間依存性を考慮した構成式や設計に取り入れられてゐる。しかしながら、最近はこのような静的な長期強度を評価するものにとどまらず、地震動を意識した動的問題にも対処しようと試みが盛んに行なわれつつある。したが、乙軟岩の動的変形特性は重要な応用分野を控えた明確な待たれる問題であるが、この種の研究例は非常に少ないのが現状である。

一般に材料の長期強度の問題はフリーパーと疲労の2つの現象から論じられることが多い。硬岩を用いた室内試験により両者の挙動の類似性や相関性を取り扱った研究があつた。その結果、疲労試験における定振動荷重下の岩石の挙動は応力速度、応力振幅に依存してフリーパーと同様な強度特性、異なる破壊機構が現われることが示された。このようなことから岩石に対する動的試験は疲労の問題として扱えれば時間依存性へ統一すればいい、また振動特性を考慮すれば動的変形特性の問題となる。本研究は、堆積軟岩を用いた繰り返し載荷試験、フリーパー試験を行ない、この変形強度特性における時間依存性の問題を明らかにすることを目的としている。

2. 実験方法

実験用いた試料は、多孔質凝灰岩（群馬県産 船生石）で、直徑5cm、高さ10cmの成型したものを飽和し繰り返し載荷試験、フリーパー試験を行なった。実験はすべて側圧15kN/cm²、背圧5kN/cm²の圧密非排水条件のもとで実行した。なお、破壊しなかつた場合には1回間隔で実験を行なつた。

(1) 繰り返し載荷試験：載荷波形は三角波、応力速度は $\dot{\sigma}_t = 30, 70, 150 \text{ kN/cm}^2/\text{sec}$ の3種類を設定し、加えて最大軸差応力は80～150kN/cm²の範囲である。すな、最大軸差応力150kN/cm²の場合には応力振幅を不規則、すなわち100, 75, 50, 25%と変化させて実験した。ここでいう振幅とは、最大軸差応力の何%分をもつつかといふことを表わしており、例えば75%は、最小軸差応力が最大軸差応力の4分の1の値をもつことを表す。

(2) フリーパー試験：載荷速度3kN/cm^{2/sec}で荷重を一定の値にまで上昇させ、フリーパー試験を継続した。軸差応力は、60～155kN/cm²の範囲である。

3. 実験結果および考察

まず、破壊の定義はふれておく。繰り返し載荷試験における最大軸差応力120kN/cm²以上の場合と100kN/cm²の場合では、異なる破壊挙動を示す。すなわち、120kN/cm²以上の場合には、破壊時に加工した繰り返し応力を支え

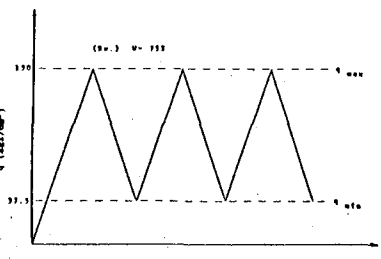


図-1

3点が出来なくなり、ひずみは瞬間に増大し、明瞭な破壊点が読み取れる。これに対し最大軸差応力100 kN/cm²の場合は、明瞭な破壊点が現われず加えた応力を支え、載荷波形巨保たまま延性と塑性流動を起す。この場合は、いつ破壊が起るか正確にはわからずが、ひずみと時間の関係を普通軸上にプロットすると4%付近でひずみが時間軸に対して垂直にならざるに立ち止り、4%を軸差応力100 kN/cm²の破壊点と定義した。

図-2は3種類の定ひずみ速度せん断試験の結果と、繰り返し載荷の第1回目自載荷時、最大ひずみ量及び破壊時のひずみ量を示す。せん断試験の応力-ひずみ曲線から拘束圧が一定の場合には残留強度は、ひずみ速度に依存せずほぼ一定となり100 kN/cm²となることがわかる。これは、先の破壊時の挙動を裏づけている。軸差応力80 kN/cm²の場合は破壊せず、図中には1週間後のひずみ量を記してある。80 kN/cm²で破壊せず100 kN/cm²で破壊するこより、1週間以内に破壊を起す限界応力はこの間に決ることは思われるが、残留強度を考慮すれば、およそ100 kN/cm²をもと限界応力を考える。図中のひずみ速度 $\dot{\epsilon}_1 = 8\%/\text{min.}, 17\%/\text{min.}, 30\%/\text{min.}, 300\%/\text{sec.}$, 20191 kN/sec. の繰り返し載荷試験の第1回目における載荷の線形部分から逆算して求めたものである。1回目のひずみと破壊時のひずみを ϵ_1 と1回目のものは全体として、ひずみ硬化部分の力- γ への外側に位置し、破壊時の方は、例外は除くその他ひずみ軟化部分の力- γ の内側に出る傾向が表われている。Hannison⁹は繰り返し載荷中の初期と破壊時のひずみ量は応力-ひずみ曲線によらず完全に規定されることを実験的に明らかにしており、この実験結果によると多少のずれが見られるものの一応軸差応力が下がるに従い、応力-ひずみ曲線に沿うように破壊時のひずみが伸びてことから見て Hannison の結果と同等を見ることができる。このようなることから応力速度に見合ったひずみ速度をせん断し、応力-ひずみ曲線を得れば、繰り返し載荷によって発生する初期ひずみ、破壊ひずみの荒い推定は可能であると考える。

次に、図-3は図-2と同じ応力-ひずみ曲線と7リープ試験の場合の初期ひずみ、破壊時のひずみ及び破壊しない場合1週間後のひずみを示す。この7リープ試験は、繰り返し載荷試験と同じ側圧15 kN/cm²のもとを行なわれたが、実験期間1週間による軸差応力130 kN/cm²以下で破壊が生じていない。つまり、対象とする材料の破壊の推定というものを考慮した場合には7リープ試験よりも繰り返し載荷試験を行なう方が有効であることを示唆している。この点は興味深い。破壊時のひずみの点について見ると、図-2、図-3を遙かに見られない。

図-4は繰り返し載荷ヒヤリーブ試験の応力-破壊時

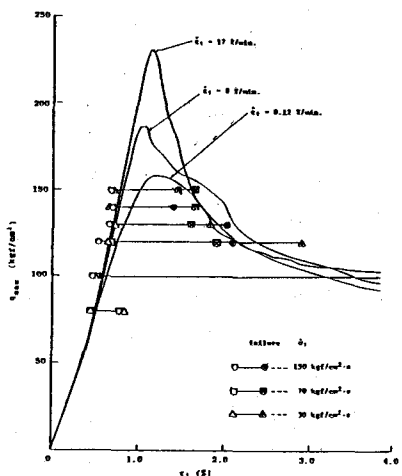


図-2

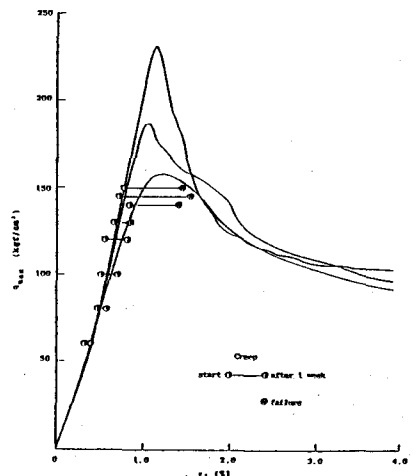


図-3

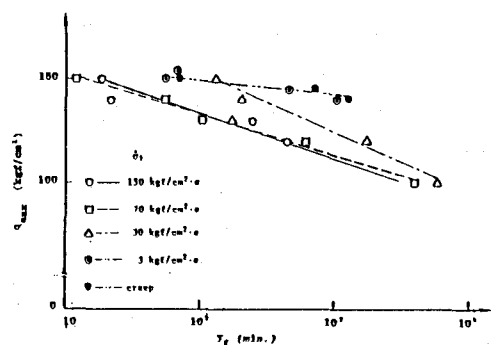


図-4

間の関係を示す。応力速度 150 t/cm sec と 20 t/cm sec の場合は破壊時間にほとんど差が見られず、 $\pm 1\%$ 応力速度 30 t/cm sec , $\pm 4\%$ と破壊時間が長くなる傾向がある。応力速度 3 t/cm sec の場合は $\pm 4\%$ の破壊時間がほとんど変わらない。応力速度 3 t/cm sec の場合がクリープに相当すると言えども直接クリープと繰り返し載荷を比較する二点が異なるが、応力速度が 3 t/cm sec よりも速く有ると繰り返し載荷の方がクリープよりも時間的に早く破壊し、また応力速度 30 t/cm sec と ± 3 未以上へ 20 , 150 t/cm sec の破壊時間に明らかな相違があることを破壊は応力速度に依存すると言えらる。応力速度 30 t/cm sec と 20 , 150 t/cm sec の場合の傾きが異なるのは加えた応力のレベルによる応力速度の影響を受ける程度が違うからである。この図によると軸差応力が小さくなる程、応力速度の影響は軽減される。また、この図から運動的な限界応力と静的の限界応力の相違は、応力速度に依存して生じることになる。しかししながら西らが泥岩を用いて行なった振動載荷試験によると周波数が $0.1 \sim 30 \text{ Hz}$ の範囲内では動的強度に及ぼす周波数の影響は大さなものではなく、周波数依存性は認められないことになり、といふ。今回の実験結果から得た応力速度依存性は、この西らの実験事実と矛盾しており、今後検討を要する点である。

図-4 の軸差応力をパラメータに取り、応力速度と破壊時間の関係を表わしたのが図-5 である。図は全体的に左に傾いており、また軸差応力が 150 kgf/cm^2 以上になるとその度合いが大きくなり、といふ。応力速度 20 t/cm sec と 150 t/cm sec は必ずしも同じ方向に傾いていたが、少なくとも 30 t/cm sec と ± 3 未 2 の速度との間に遼いがある。図-5 を破壊時間ではなく破壊回数に対してプロットしたのが図-6 である。軸差応力 130 kgf/cm^2 以下と 150 kgf/cm^2 以上とは図-5 と傾向が異なり、応力レベルが上がると応力速度に依存する程度が大きくなることがわかる。

図-7 に最大軸差応力 150 kgf/cm^2 の応力振幅と破壊時間の関係を示す。Sholz²⁾ が硬岩を用いて示した実験結果は図-8 に示すように破壊時間と振幅に対してピークを持つものであるが、本実験結果はいずれの応力速度でも振幅が小さくなるに従って単調に破壊時間が増大する。図-8において、破壊時間が振幅に対してピークを持つことは、はじめて振幅のクリープ状態から徐々に振幅を増やすと平均軸差応力の低下に伴ないクリープのようない定荷重下で発達するクラックの進展が抑制され破壊時間が長くなる、そしてその後振幅が増大するとヒステリシスループの面積が次第に大きくなり、これに対応した繰り返し載荷によるクラックの進展が促進され、この促進されたクラックの発達と抑制されるものの兼ね合いで破壊時間はピークを持つようになり、さらに振幅が増大すると繰り返し載荷によるクラックの進展が卓越して破

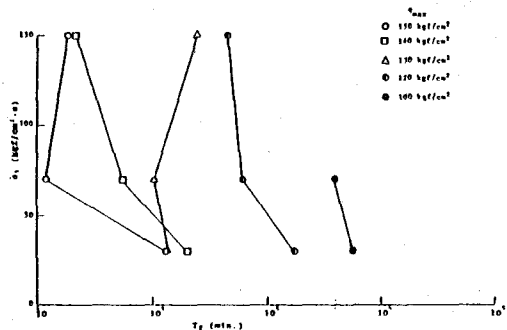


図-5

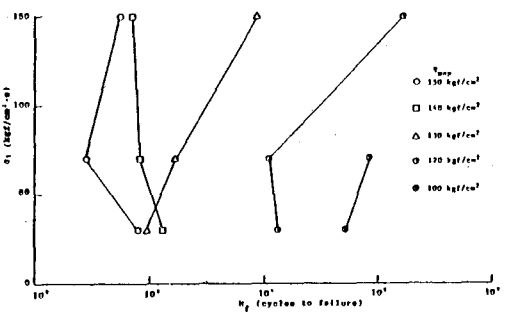


図-6

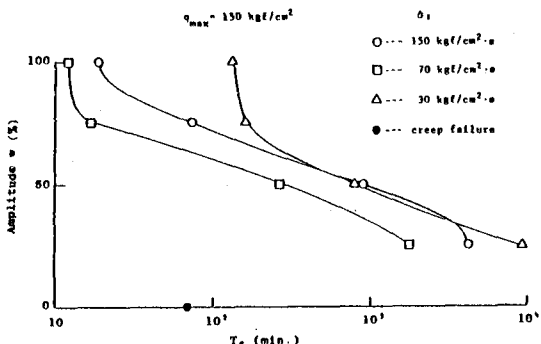


図-7

應時間が短くなると説明される。このような考え方方に立つと、振幅の0から100%までの変化に対し破壊時間は必ずずピーツを持つことになるが実験結果はそのようにはならない。図-9はScholzの考え方方に縦い線を返し載荷中に平均軸差応力に見合うクリープ応力が加わる、といふものと考え、縦軸に平均軸差応力をとり線を返し載荷中のクリープの効果をみたものである。この図は図-7と逆で、平均軸差応力75 MPaが振幅100%の場合であり、131.5 MPaが振幅25%に相当する。振幅25%の場合を縦に返し載荷の効果がほとんどない、クリープに準じた載荷がなされといふと考えると平均軸差応力が131.5 MPaで、破壊までの時間が長くなるのは、先に示したクリープ試験の結果において130 MPaで破壊しかかることからみて妥当な結果である。このことをよりやすくするために図-10には縦軸に平均軸差応力、横軸に軸ひずみを取りクリープと繰り返し載荷の場合の等時間曲線を示す。図中の○印は応力速度30 MPa/sec、最大軸差応力150 MPaの各振幅に対する平均軸差応力をある。△EPは軸差応力120, 130, 150 MPaのクリープである。これららの平均軸差応力を軸ひずみとの関係と等時間曲線としてプロットした。まず図中の120 MPaのクリープとそれ以下の場合を比べると、平均軸差応力が下がり振幅が大きくなるほど変形が速く進み繰り返し載荷の影響が表われていい。しかしながら振幅25%に相当する平均軸差応力131.5 MPaの場合は、 $\dot{\epsilon}_1 = 40 \times 10^{-6} \text{ min}^{-1}$ と 130 MPa のクリープの場合と変形がほとんど同じであり、振幅の影響及び繰り返し載荷との最大荷重の差異をほとんど感じさせない。このような結果から振幅が小さい範囲内では繰り返し載荷はScholzのように最大荷重が同一のクリープと比較するよりも平均軸差応力が同一のクリープと比較するよりも長い等時間曲線がなされるに思われる。

(参考文献)

- 1) Haimson, B.C. & C.M. Kim: Mechanical Behavior of Rock under Cyclic Fatigue, Rock Mechanics, 3, 1971, pp. 845-863
- 2) Scholz, C.H. & T.A. Kozynski: Dilatancy Anisotropy and the Response of Rock to Large Cyclic Loads, J. Geophys. Res., Vol. 84, No. B10, 1979, pp. 5525-5534
- 3) 足立紀尚: 堆積軟岩の力学挙動に関する研究, 京都大学博士論文, 1979
- 4) 面好一, 江刺靖行: 岩岩の力学特性に関する研究(その4) 振動荷重下における強度-変形特性, 電力中央研究所, 研究報告 J82014

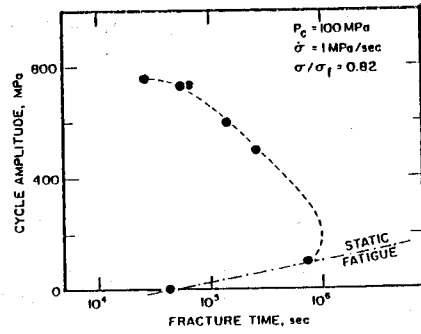


図 - 8

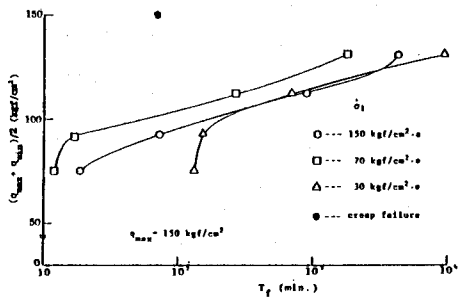


図 - 9

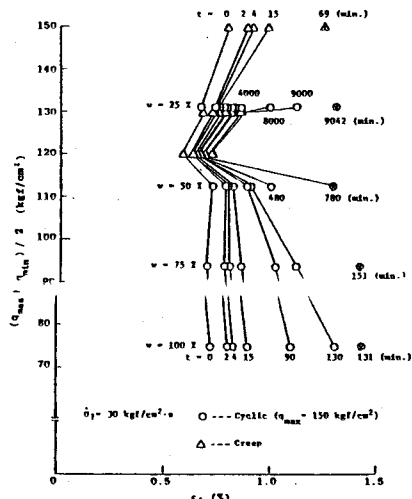


図 - 10

(24) MECHANICAL BEHAVIOR OF SOFT SEDIMENTARY ROCK
UNDER REPEATED LOADING

Toshihisa ADACHI
Yuzo OHNISHI
Masahiro SOYA
Makio HICHIJYO

(School of Civil Eng., Kyoto Univ.)

Foundations of dams, roads and bridges, underground space like tunnels and chambers are subjected to cyclic loading caused by earthquakes, traffics, blasting, etc.. The effects of cyclic or repeated loading on several different civil engineering materials such as steel, concrete and soil have been investigated. A typical phenomenon is so called cyclic fatigue in which a material fails at a stress level lower than its static strength. However, little work in this subject has been done in the area of rock mechanics. The influence of combined stresses and pore water pressure have not been investigated.

It is known that the fatigue curve in cyclic loading is similar to the static creep. The reason why is not well documented theoretically nor experimentally. Scholtz and Koczynski tried to explain these rock behaviors under cyclic loads with hard crystalline rocks. Their conclusions was that three types of cracking results in dilatancy stress-induced cracking; stress-corrosion cracking and fatigue cracking. Rock failure or fracture is sesitive to which type is prevalent.

The purpose of this research is to examine a number of features that are not well observed in more conventional test. Soft saturated porous sedimentary rock(tuff) were selected for consolidated undrained triaxial test. Deformation, strength and behavior of pore pressure under quasi-static and repeated loading have been investigated. In addition, creep tests were conducted to know the "long-term" strength. The results of these tests are interpreted in view of the compite stress-strain curve.

In order to check the existence of complete stress-strain curve, triaxialtests with variable stress rate and strain rate are performed. It was found that the bahavior pointed out by Scholtz on crystalline rock is quite different from our tuff. The reason why is now under investigation by using weathered ganites.